

(株) 神戸製鉄所 正員 守 国夫
 " 正員 中村 耕造
 " 正員 波田 駿夫

まえがき

サンドイッチ鋼床版は、構造的にやや複雑な断面形状となっているため、従来の鋼床版に比べてさらに局部応力を明らかにしておく必要がある。したがって応力解析にあたって、異方性板理論だけでは不十分であり、また局部応力を固執して有限要素法で厳密解を求めて計算定量が大きくなり、設計に対して実用的でないといふことも考えられる。そこで、本報ではサンドイッチ鋼床版のように複雑な断面形状を有する構造体に対する計算法として伝達マトリックスによる解法を適用し、あわせて実験との比較検討を行なった。

2 計算式

次の三つを仮定した。

- (1) 板厚方向の直応力は無視する。
- (2) 板の中央平面の法線上にある全ての点は変形後を変わらない。
- (3) 変形は板厚に比べて小さい。

スパン中央断面において座標系は図-1に示すように右手系とする。合力は図-2に示す。また、スパン方向の支持条件は二辺単純支持とする。

未知数のとり方として、まず面外力に対しては $W, Q_x, Q_y, Q_z, M_x, M_y, M_{yz}$ の 8 個を選び、次式のような組合せであらわされるものとする。

$$\left. \begin{array}{l} W = \sum_m W_m \sin K_m X + \sum_n W_n \cos K_n X \\ Q_x = -\sum_m Q_{xm} \cos K_m X + \sum_n Q_{xn} \sin K_n X \\ Q_y = -\sum_m Q_{ym} \sin K_m X + \sum_n Q_{yn} \cos K_n X \\ Q_z = -\sum_m Q_{zm} \cos K_m X + \sum_n Q_{zn} \sin K_n X \\ Q_x = \sum_m Q_{xm} \sin K_m X + \sum_n Q_{xn} \cos K_n X \\ Q_y = \sum_m Q_{ym} \cos K_m X + \sum_n Q_{yn} \sin K_n X \\ Q_z = \sum_m Q_{zm} \sin K_m X + \sum_n Q_{zn} \cos K_n X \\ M_x = \sum_m M_{xm} \sin K_m X + \sum_n M_{xn} \cos K_n X \\ M_y = \sum_m M_{ym} \sin K_m X + \sum_n M_{yn} \cos K_n X \\ M_{yz} = \sum_m M_{yzm} \sin K_m X + \sum_n M_{yzn} \cos K_n X \end{array} \right\} \quad (1)$$

$$m = 2, 4, 6, \dots, n = 1, 3, 5, \dots, K_m = \frac{\pi \cdot m}{2a}, K_n = \frac{\pi \cdot n}{2a}$$

ここに W は鉛直たわみ、 Q はたわみ角、 M はせん断力、 N はモーメント、 $2a$ はスパン長である。

同様に面内力に対しては、 $U, V, T_x, N_x, N_y, N_{xy}$ の 6 個の未知数を選び、次式のようにあらわされるものとする。

$$\left. \begin{array}{l} U = U_0 - \sum_m U_{xm} \cos K_m X + \sum_n U_{xn} \sin K_n X \\ V = \sum_m V_{xm} \sin K_m X + \sum_n V_{xn} \cos K_n X \\ T_x = T_{x0} - \sum_m T_{xym} \cos K_m X + \sum_n T_{xyn} \sin K_n X \\ N_x = \sum_m N_{xm} \sin K_m X + \sum_n N_{xn} \cos K_n X \\ N_y = \sum_m N_{ym} \sin K_m X + \sum_n N_{yn} \cos K_n X \\ N_{xy} = N_{xy0} - \sum_m N_{xym} \cos K_m X + \sum_n N_{xyn} \sin K_n X \end{array} \right\} \quad (2)$$

ここに U, V はそれぞれ x, y 方向の変位、 T はせん断ひずみ、 N は軸力である。さて、(1) 式で y 軸に関する対称性を利用すると次式が得られる。

$$\left. \begin{array}{l} Q_{xn} = K_n W_n \\ Q_{xm} = -D K_n^3 (1-t) W_n + K_n M_{yzn} \\ M_{xn} = D K_n^3 (1-t) W_n - t M_{yzn} \\ M_{yzn} = -D (1-t) K_n Q_{xn} \end{array} \right\} \quad (3)$$

図-1 座標系

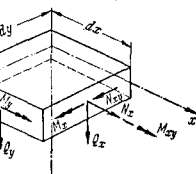


図-2 合力

ニニ K D は版刷度、トはポアソン比である。

(3)式をまとめると次式のようになる。

$$\mathbf{Z}_{pn} = [W_n, S_{pn}, Q_{pn}, M_{pn}]^T \quad (4)$$

さらに(4)式を x で微分すると次式のようになる。

$$Z_{pn}^* = \begin{bmatrix} W_n \\ Q_n \\ Q_n^* \\ M_n \end{bmatrix} = \begin{bmatrix} 0 & I & 0 & 0 \\ -k_n^2 & 0 & 0 & \frac{1}{D} \\ D(-l^2)k_n^2 & 0 & 0 & -k_n^2 \\ 0 & 2Dk_n^2(l-1) & -l & 0 \end{bmatrix} \cdot Z_{pn} = A_{pn} Z_{pn} \quad (5)$$

ここに・はるぎである。部材に荷重が負荷している場合、荷重項を B_{pn} とすると(5)式は次式のようになる。

$$Z_{pn} = A_{pn} \cdot Z_{pn} + B_{pn}$$

上式を解くと、部材の伝達方程式が次式のように表わされる。

$$\mathbb{Z}_{pn} = \mathbb{P}_{pn} \cdot \mathbb{Z}_{pn,0} + (\mathbb{P}_{pn} - \mathbb{E}) \cdot A_{pn}^{-1} \cdot B_{pn}$$

ここで $P_{pn} = \exp(A_{pn} \cdot t)$, Z_{pn0} は $t=0$ における Z_{pn} , E は単位マトリックスである。

同様にして、面内力に対して各部材の伝達方程式を導ける。

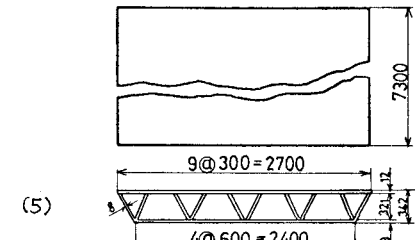


图-3 供試体

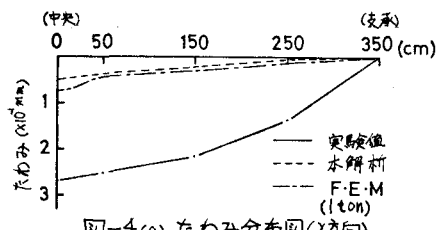


図-4(a) たわみ分布図(方向)

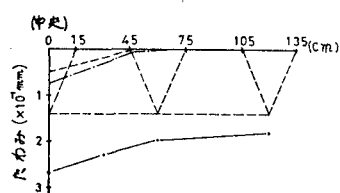


图-4(b) たわみ分布図(片向)

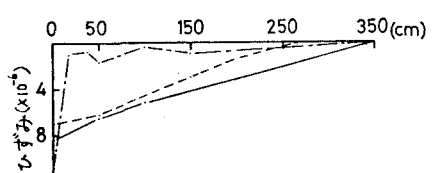


图-5(a) 7~8"分段图(x方向)

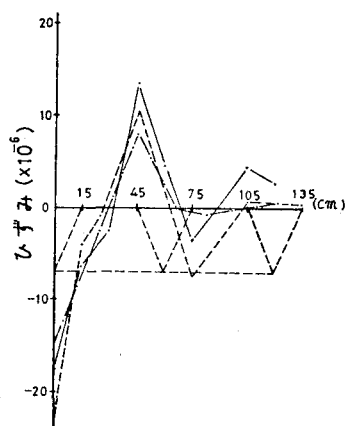


図-5(b) ひずみ分布図(Y方向)

4 考察

図-5(b)に示すように、サンドイッチ鋼床版は載荷板近傍の上面板と心材との結合線(上面板)において、 \times 方向に大きな引張応力が生じ、そこから離れるにつれて急速に応力が減少する。この床版はいわゆる直交異方向版の性状を示す、V型心材が \times 方向に支持された単純梁の群を構成し、上下面板がそれらの梁を弾性支承とする連続板であると考えられる。また、本解析は、このサンドイッチ鋼床版に対する解析手法として、かなり期待できると考えられる。

[#]B. Dobovišek "Berechnung prismatischen Schalen" Der Bauingenieur, 1992, Heft 11